

基于长短期记忆网络 (LSTM) 的蔬菜补货与定价决策模型

摘要

本文

针对问题一，你好

针对问题二，

针对问题三，

针对问题四，

关键词： 'xx' 'xx' 'xx' 'xx' 'xx'

一、问题重述

1.1 问题背景

为保持编队队形，拟采用纯方位无源定位的方法调整无人机的位置，即由编队中某几架无人机发射信号、其余无人机被动接收信号，从中提取出方向信息进行定位，来调整无人机的位置。编队中每架无人机均有固定编号，且在编队中与其他无人机的相对位置关系保持不变。无人机集群在遂行编队飞行时，为避免外界干扰，应尽可能保持电磁静默，少向外发射电磁波信号。

1.2 问题提出

接收信号的无人机所接收到的方向信息约定为：该无人机与任意两架发射信号无人机连线之间的夹角（如图 1 所示）。例如：编号为 FY01、FY02 及 FY03 的无人机发射信号，编号为 FY04 的无人机接收到的方向信息是 α_1 ， α_2 和 α_3 。需建立数学模型，解决以下问题：

问题一：编队由 10 架无人机组成，形成圆形编队，其中 9 架无人机（编号 FY01 FY09）均匀分布在某一圆周上，另 1 架无人机（编号 FY00）位于圆心（见图 2）。无人机基于自身感知的高度信息，均保持在同一个高度上飞行。

1. 位于圆心的无人机（FY00）和编队中另 2 架无人机发射信号，其余位置略有偏差的无人机被动接收信号。当发射信号的无人机位置无偏差且编号已知时，建立被动接收信号无人机的定位模型。
2. 某位置略有偏差的无人机接收到编号为 FY00 和 FY01 的无人机发射的信号，另接收到编队中若干编号未知的无人机发射的信号。若发射信号的无人机位置无偏差，除 FY00 和 FY01 外，还需要几架无人机发射信号，才能实现无人机的有效定位？
3. 按编队要求，1 架无人机位于圆心，另 9 架无人机均匀分布在半径为 $100m$ 的圆周上。当初始时刻无人机的位置略有偏差时，请给出合理的无人机位置调整方案，即通过多次调整，每次选择编号为 FY00 的无人机和圆周上最多 3 架无人机遂行发射信号，其余无人机根据接收到的方向信息，调整到理想位置（每次调整的时间忽略不计），使得 9 架无人机最终均匀分布在某个圆周上。利用表 1 给出的数据，仅根据接收到的方向信息来调整无人机的位置，请给出具体的调整方案。

问题二：实际飞行中，无人机集群也可以是其他编队队形，例如锥形编队队形（见图 3，直线上相邻两架无人机的间距相等，如 $50m$ ）。仍考虑纯方位无源定位的情形，设计无人机位置调整方案。

二、问题分析

2.1 问题一分析

该问题的本质是一个简单的几何求解过程，根据圆上一点的任意性固定一个点同时假设另一点的极坐标，利用方向信息和正弦定理求解被动机的位置，考虑到被动机和圆上主动机的位置关系，可以分为两种情况求解，同时为了简化模型求解，方便计算，设定主动机与被动机的角度范围求出其在一般情况下的解，再根据我们假设的发射信号的先后顺序确定我们所需要的无人机位置的解，从而实现对无人机的有效定位。

2.2 问题二分析

2.3 问题三分析

三、模型假设

1. 无人机知道自己的编号。
2. 无人机主动机发射信号有次序，不是同时发射。
3. 无人机调整方向为任意的。

四、符号说明

表 1 模型核心符号说明

符号	说明	单位
g	品类标识	-
n_g	第 g 类品类的样本量	-

五、模型建立与求解

5.1 问题一：建立被动接收信号无人机的定位模型

根据题意，先以 FY00 作为圆心，FY00 与 FY01 连线方向为极轴，逆时针为正方向建立极坐标。在该极坐标下进行几何求解，位于圆心的无人机 FY00 和编队中另 2 架无人机发射信号，由于圆上第一架无人机选取具有任意性，为简化模型，方便计算，以 FY01 为一架主动机，选取其他任意一架无人机作为主动机，发射信号的无人机位置无偏差且编号已知，可由此确定被动机的位置。

5.1.1 被动机定位模型建立

根据我们建立的极坐标系， R 为九架无人机分布圆的半径，可知 FY00 和 FY01 的极坐标分别为 $(0,0)$ ， $(R,0)$ ，设另一架主动机 i 的极坐标为 (R,θ) ，其中 θ 已知，设接收信号的被动机 j 极坐标为 (r,φ) ，其中 (r) 与 (φ) 均未知。根据题意可知接收信号的被动机位置有如下两种情况：

1. 当 $\theta > \varphi$ 时，无人机分布的其中一种情况如图1所示，

由几何关系可得

$$\begin{cases} \frac{R}{\sin \alpha} = \frac{r}{\sin(\pi - \alpha - \theta + \varphi)} \\ \frac{R}{\sin \beta} = \frac{r}{\sin(\pi - \varphi - \beta)} \end{cases} \quad (1)$$

2. 当 $\theta < \varphi$ 时，无人机分布的其中一种情况如图2所示，

由几何关系可得

$$\begin{cases} \frac{R}{\sin \alpha} = \frac{r}{\sin(\pi - \alpha + \theta - \varphi)} \\ \frac{R}{\sin \beta} = \frac{r}{\sin(\pi - \varphi - \beta)} \end{cases} \quad (2)$$

θ 与 φ 的取值范围有 $\theta \in [0,\pi) \cap \varphi \in [0,\pi)$ ， $\theta \in [0,\pi) \cap \varphi \in [\pi,2\pi)$ ， $\theta \in [\pi,2\pi) \cap \varphi \in [0,\pi)$ ， $\theta \in [\pi,2\pi) \cap \varphi \in [\pi,2\pi)$ 四种情况。易证 θ 与 φ 的取值范围不影响数值解的大小，仅影响解的正负，故仅从 θ 与 φ 的大小关系出发进行讨论。上述描述便以 $\theta \in [0,\pi) \cap \varphi \in [0,\pi)$ 为例，其他情况均同理。

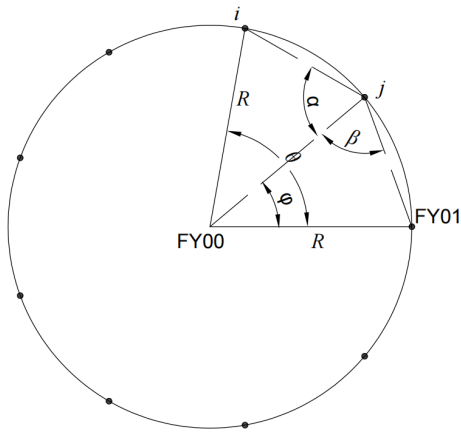


图 1 主动机与被动机排布的情况 1

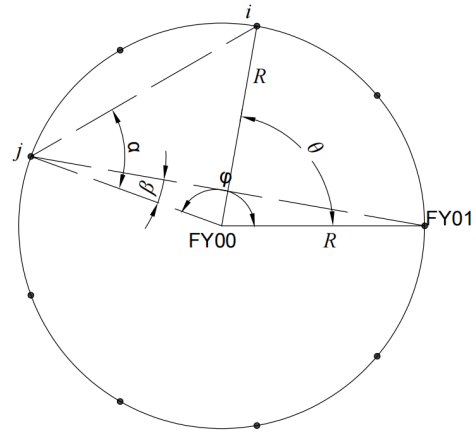


图 2 主动机与被动机排布的情况 2

注：主动机发射的方向信息 α 为 $(i,0)$ 的夹角， β 为 $(0,1)$ 的夹角，图2同理。

5.1.2 被动机定位模型求解

将式 (1) 相除可得

$$\frac{\sin \beta}{\sin \alpha} = \frac{\sin(\pi - \varphi - \beta)}{\sin(\pi - \alpha - \theta + \varphi)} \quad (3)$$

将上式整理得

$$\tan \varphi = \frac{\cos \alpha + \cos(\alpha_2 + \theta)}{\sin(\alpha + \theta) - \sin \beta} \quad (4)$$

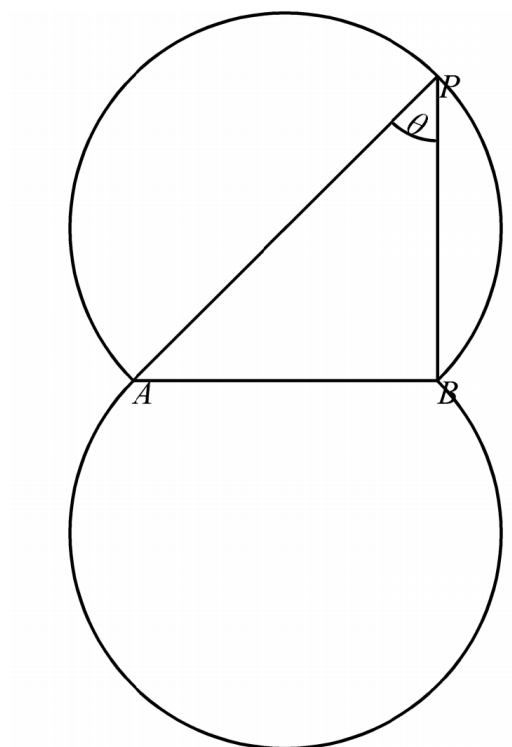


图 3 哈哈

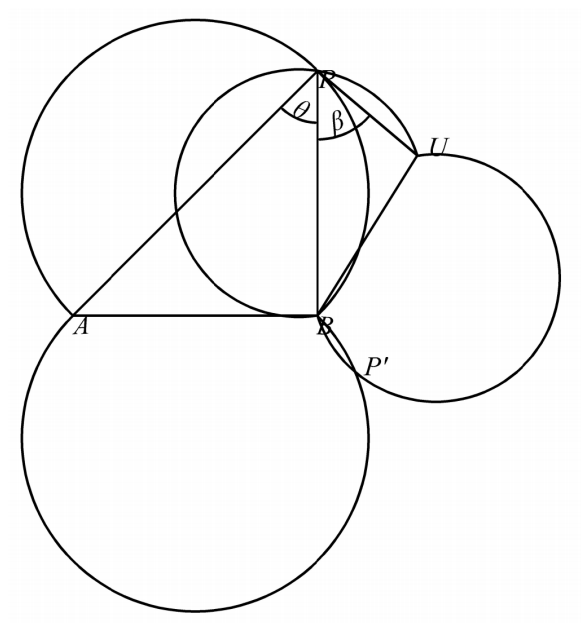


图 4 哈哈

5.1.3 求解结果

5.2 问题一:

5.2.1 模型建立

5.2.2 问题求解

5.2.3 求解结果

5.3 问题一:

5.3.1 模型建立

5.3.2 问题求解

5.3.3 求解结果

5.4 问题二的模型建立与求解

5.4.1 模型建立

5.4.2 问题求解

5.4.3 求解结果

六、模型的分析与检验

6.1 误差分析

6.2 灵敏度分析

七、模型的评价

7.1 模型优点

1. ..
2. ..
3. ..

7.2 模型缺点

1. ..
2. ..

7.3 改进方向

1. ..
2. ..

参考文献

- [1] 卓金武. MATLAB 在数学建模中的应用[M]. 北京: 北京航空航天大学出版社, 2011.
- [2] 司守奎, 孙玺菁. 数学建模算法与应用[M]. 2 版. 北京: 国防工业出版社, 2015.
- [3] 同济大学数学系. 高等数学[M]. 8 版. 北京: 高等教育出版社, 2014.
- [4] REITZ K, SCHLUSSER T. Python 编程之美: 最佳实践指南[M]. 电子工业出版社, 2018.
- [5] MITCHELL T. 机器学习[M]. 机械工业出版社, 2008.
- [6] RASHID T, 林赐. Python 神经网络编程 Make Your Own Neural Network[M]. 人民邮电出版社, 2018.

附录 A 运行结果

附录 B 文件列表

表 2 程序文件列表

文件名	功能描述
Enums.py	自定义枚举类型
SaleFlow.py	处理文档, 将附件 2 的流水整理为使用的形式
SaleUtils.py	处理表格、绘图等工具
code1.py	问题一程序代码
code2.py	问题二程序代码
code3.py	问题三程序代码

附录 C 代码

问题 1 代码


```
print('1')
```

问题 2 代码

```
print('2')
```

问题 3 代码

```
print('3')
```